

(23) 封圧下において繰り返し圧縮荷重を受ける軟岩の力学的挙動

東北大学工学部 小林良二

東北大学工学部 松木清二

○ 東北大学大学院 工藤裕之

1. 緒言

近年、橋梁や発電所などの構造物の建設にあたっては、必ずしも良好な岩盤のみならず、わざわざ軟岩を選択せざるを得ない状況が生じてゐる。この場合、基礎岩盤は三軸圧、周隙水圧の作用のもとでかなり大きな変動荷重を受けることになる。従って地盤調査に際し、三軸圧下で岩石の繰り返し疲労試験を行なう、その変形挙動を調べるべきである。

本研究では、岩石試験片に封圧と周隙水圧を加えた状態で繰り返し疲労試験を行なうことができる実験装置を試作し、岩石の繰り返し疲労特性を、特に、粘塑性軸ひずみに用いて調べたので、これについて述べる。

2. 岩石試料

岩石試料としては、島根県八束郡宍道町産の米崎砂岩と福島県双葉郡広野町産の広野砂質泥岩を用いた。米崎砂岩は水中に2日間、50°Cの乾燥器中に2日間置いた後、さらにデシケータ中に又週間放置した気乾状態のものと、飽和含水状態のものを試験に供した。広野砂質泥岩については自然含水状態のものと飽和含水状態のものを試験に供した。なお、両岩種の飽和含水状態のものは、重量変化がなくなりて水中に浸したものである。両岩石の試験片形状は直径35mm高さ70mmの円柱であり、一軸圧縮強度と有効空隙率は、米崎砂岩で、それぞれ、540 kN/cm²、22.4%、広野砂質泥岩では、59 kN/cm²、54.3%である。また、広野砂質泥岩の自然含水状態の含水比は、46.1%、飽和度94.6%である。

3. 実験装置及び方法

図1は実験に用いた三軸圧縮試験装置である。図中、①はロードセル、②は環座、③は軸圧用ピストン、④は供試体、⑤は互いに垂直な2組の横ひずみ用フレキシブルゲージ、⑥は球座、⑦は②の運動による封圧の変動を消去するためのピストン、⑧は軸ひずみ用差動トランジット、⑨は圧力変換器、⑩はフルタである。封圧は増圧器とガスボンベを組み合わせて±2%以内で一定に保つた。軸荷重はサーボコントロール型疲労試験機（東京衡機製エニパルス）を用いて加え、軸荷重、軸変位、横変位、封圧をインレコーダーに記録した。

実験は三軸繰り返し疲労試験とともに繰り返し載荷-除荷試験を行なったが、疲労試験は1Hzの正弦波に13片振り圧縮荷重で最大16回まで行ない、繰り返し載荷-除荷試験は、加えられた最大ひずみを繰り返しとともに漸増させて行なう一定ひずみ速度試験である。

実験条件としては、米崎砂岩では気乾状態の試料に対して封圧0, 20, 40 kN/cm²を変えた場合につれて、飽和含水状態に対する場合は、封圧40 kN/cm²、周隙水圧0 kN/cm²の場合について試験した。また広野砂質泥岩でも自然含水状態の試料に対しては封圧0, 5, 10 kN/cm²に変えた場合について、飽和含水状態に対しては、封圧10 kN/cm²、周隙水圧0 kN/cm²の場合について試験を行なった。

4. 実験結果及び考察

図2～5に繰り返し疲労試験の除荷時ににおける軸ひずみの繰り返し数当たりの増加率、すなわち粘塑性軸ひずみ増加率と粘塑性軸ひずみ倍率との関係を示す。なお、図中の曲線のパラメータS_fは応力比であり、破壊繰り返し数が1のときの破壊強度で繰り返し疲労試験の最大主応力差を除したものである。図2は米崎砂岩の気乾状態

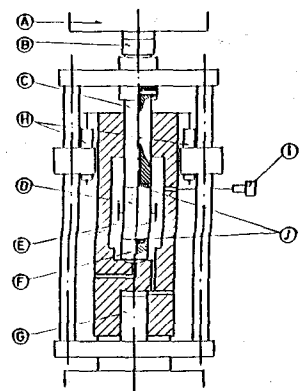
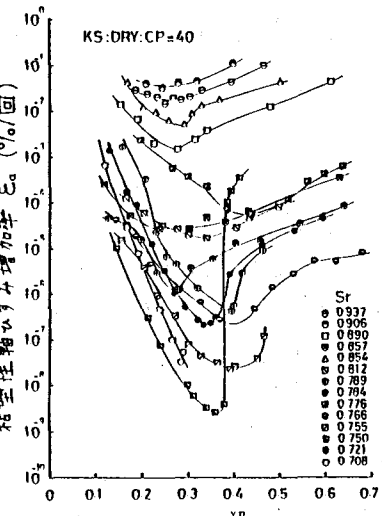


図1 三軸圧縮試験装置

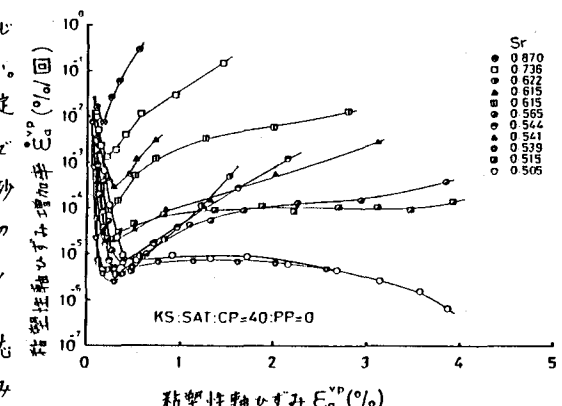
他のものを封圧より離して試験したものである。耐久限度付近のものである応力比0.708の場合(○印)を除けば、 E_a^p の増加につれて $\dot{\epsilon}_a^p$ が減少し、最小値に達した後、 $\dot{\epsilon}_a^p$ は増加に転じて破壊に至っている。 $\dot{\epsilon}_a^p$ が最小値をとる E_a^p は、ばらついてはいるものの、応力比によらずある範囲内におさまっている。10回の繰り返し載荷で耐久限度付近のものと考えられた応力比が0.708の場合、 E_a^p は減少するのみであり、また10回載荷した後でも、その $\dot{\epsilon}_a^p$ は、疲労破壊した場合における最小の $\dot{\epsilon}_a^p$ に対する $\dot{\epsilon}_a^p$ より大きい。このような傾向は、同じ気乾状態で封圧が0、20kg/cm²の場合にも見られた。オ3図は来待砂岩の飽和含水状態のものを封圧40kg/cm²、同除水圧0kg/cm²で試験したものである。○と◎印は耐久限度付近のものである。 E_a^p が最小値をとるまでは気乾状態の場合と同様であるが、その後の $\dot{\epsilon}_a^p$ の増加率は、応力比の低下とともに小さくなり、耐久限度付近になると再び減少に転じて安定化する。また、この時の $\dot{\epsilon}_a^p$ はかなり大きい。

オ4図は広野砂質泥岩の自然含水状態、封圧10kg/cm²のものである。 $\dot{\epsilon}_a^p - E_a^p$ 関係は、飽和含水状態の来待砂岩のもの(オ3図)と同様に、 $\dot{\epsilon}_a^p$ の増加率が応力比の低下とともに小さくなるが、10回の繰り返し載荷の範囲内において、再び $\dot{\epsilon}_a^p$ が減少に転じるもの、換言すると、耐久限度を示すものは見られない。また $\dot{\epsilon}_a^p$ が最小となる E_a^p は、ばらついてはいるがほぼ一定と考えられる。このような傾向は、同じ自然含水状態で封圧が0、5kg/cm²の場合にも見られた。オ5図は広野砂質泥岩の飽和含水状態、封圧10kg/cm²のものである。この場合、 $\dot{\epsilon}_a^p$ が再び減少に転じる耐久限度付近のもの(○、◎、◎)が見られた。

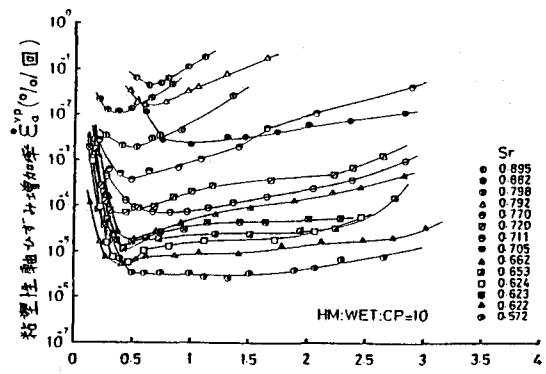
オ6～9図は繰り返し載荷一陣荷試験から求めた応力差 $\Delta\sigma$ -粘塑性軸ひずみ E_a^p 線図である。なお、軸ひずみ速度は、繰り返し疲労試験における破壊繰り返し数が上回るときの平均軸ひずみ速度である。オ6図は来待砂岩の



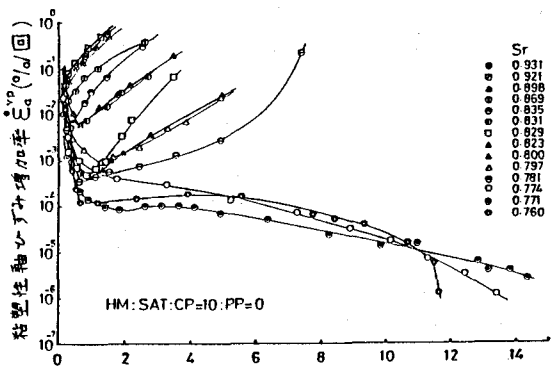
オ2図 来待砂岩の気乾状態、封圧40kg/cm²での $\dot{\epsilon}_a^p - E_a^p$ 関係



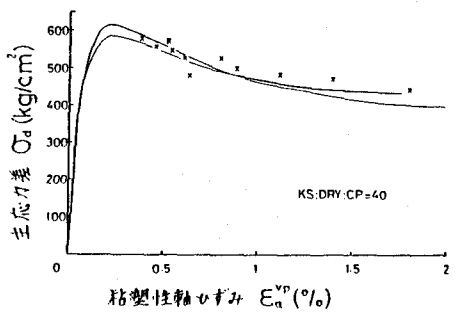
オ3図 来待砂岩の飽和含水状態、封圧40kg/cm²、同除水圧0kg/cm²での $\dot{\epsilon}_a^p - E_a^p$ 関係



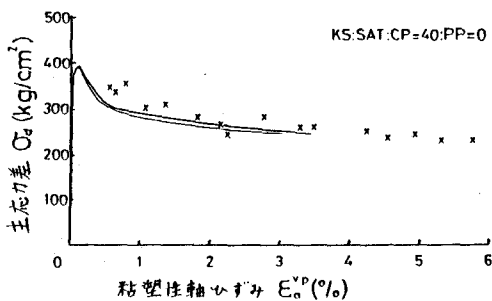
オ4図 広野砂質泥岩の自然含水状態、封圧10kg/cm²での $\dot{\epsilon}_a^p - E_a^p$ 関係



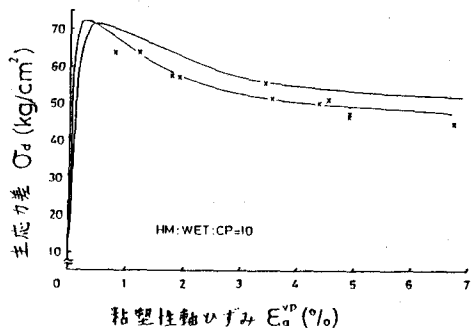
オ5図 広野砂質泥岩の飽和含水状態、封圧10kg/cm²、同除水圧0kg/cm²での $\dot{\epsilon}_a^p - E_a^p$ 関係



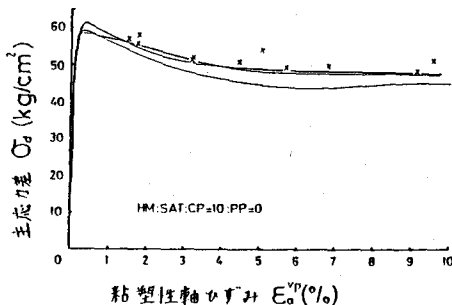
オ6図 来時砂岩の気乾状態、封圧40kg/cm²でのO_d-E_a^{vp}関係



オ7図 来時砂岩の飽和含水状態、封圧40kg/cm²、間隙水圧0kg/cm²でのO_d-E_a^{vp}関係



オ8図 広野砂質泥岩の自然含水状態、封圧10kg/cm²でのO_d-E_a^{vp}関係

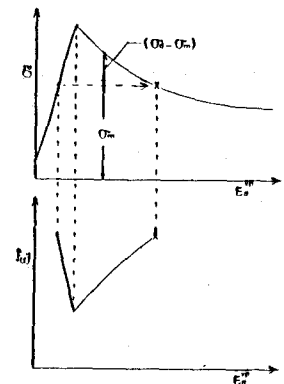


オ9図 広野砂質泥岩の飽和含水状態、封圧10kg/cm²、間隙水圧0kg/cm²でのO_d-E_a^{vp}関係

気乾状態、封圧40kg/cm²、オ7図は来時砂岩の飽和含水状態、封圧40kg/cm²、間隙水圧0kg/cm²、オ8図は広野砂質泥岩の自然含水状態、封圧10kg/cm²、オ9図は広野砂質泥岩の飽和含水状態、封圧10kg/cm²、間隙水圧0kg/cm²の場合である。図中の×印は、同じ条件下の繰り返し疲労試験における最大主応力差O_mと破壊直前のE_a^{vp}との関係をプロットしたものである。ここれらの図を見ると、ばらつきではあるものの、疲労破壊時の主応力差O_mとE_a^{vp}の関係は、繰り返し載荷-除荷試験を行って得られたO_d-E_a^{vp}線図のnegative slopeと良く一致している。このような傾向は本実験の全ての条件下で見られた。

次に、オス～5図の繰り返し疲労試験におけるO_d-E_a^{vp}線図とオ6～9図の繰り返し載荷-除荷試験におけるO_d-E_a^{vp}線図を見比べてみると、両者の間に密接な関係が認められる。すなわちオ6～9図で、E_a^{vp}の増加とともにO_dが増加していくときオス～5図のE_a^{vp}は減少し、O_dが最大値をとった後、減少し始めるときE_a^{vp}は増加に転じて最終的に破壊する。これは、O_d-E_a^{vp}線図を岩石がある粘塑性軸ひずみ（または永久ひずみ）を受けた状態で変形に抵抗でき力を示すものと考えるとわかりやすい。オス～5図のO_d-E_a^{vp}線図でE_a^{vp}=最小値となるE_a^{vp}は各条件で一定であり、また、その時のE_a^{vp}がオ6～9図のO_d-E_a^{vp}線図のピーク時のE_a^{vp}と一致すると仮定して、O_d-E_a^{vp}線図とO_d-E_a^{vp}線図との関係を模式的に示したのがオ10図である。これは、繰り返し疲労過程のE_a^{vp}が、O_dを繰り返し疲労試験における最大主応力差として、例えば(O_d-O_m)に支配されていることを意味している。

オ11～14図は、上述した考え方に基いてE_a^{vp}と(O_d-O_m)との関係を示したものである。オ11図は来時砂岩の気乾状態、封圧40kg/cm²のものであり、図中の○印は耐久限度附近のものである。ばらつきが大きく、また、最小のE_a^{vp}前後の関係がやや異なり傾向もあるが、E_a^{vp}と(O_d-O_m)との間に応力比にあまり依存しない関係が認められる。



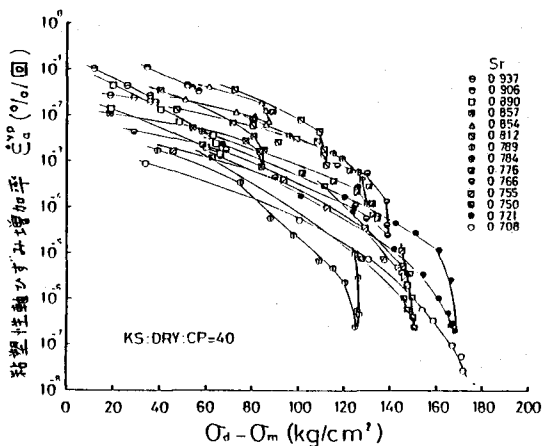


図11 来持砂岩の乾燥状態、封圧40kg/cm²での $\dot{\epsilon}_a^P$ -($\sigma_d - \sigma_m$)関係

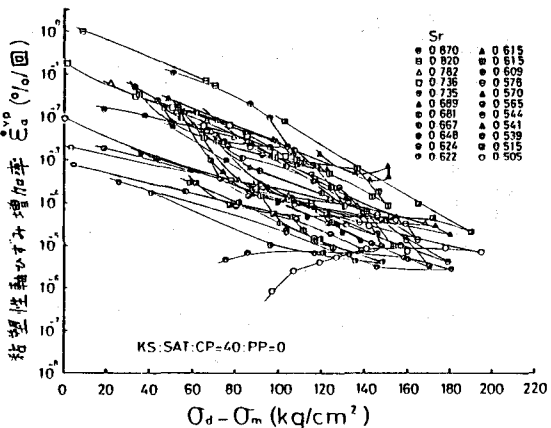


図12 来持砂岩の飽和含水状態、封圧40kg/cm²、隙隙水圧0kg/cm²での $\dot{\epsilon}_a^P$ -($\sigma_d - \sigma_m$)関係

られ。また、耐久限度付近のもの (○印)は、変形に対する抵抗 ($\sigma_d - \sigma_m$) が最大になりては急速に小さくなれる。○印は図は来持砂岩の飽和含水状態、封圧40kg/cm²、隙隙水圧0kg/cm²のものである。図11は気乾状態のものに比べるとかなりばらつきが見られるが $\dot{\epsilon}_a^P$ と($\sigma_d - \sigma_m$)との間に同様な関係がある。○印で表わされた耐久限度付近のものを見ると、抵抗 ($\sigma_d - \sigma_m$) が最大では $\dot{\epsilon}_a^P = 0.2$ 附近までは $\dot{\epsilon}_a^P$ は減少し続けるが、 $\dot{\epsilon}_a^P$ が0.2%以上になると、抵抗 ($\sigma_d - \sigma_m$) が小さくなる。このこと考えられると領域に入ると $\dot{\epsilon}_a^P$ はも本程大きくならず、 $\dot{\epsilon}_a^P$ が1.75%位になると思われる。

少に転じてある。これは図11の○- $\dot{\epsilon}_a^P$ 線図のピーク後の部分が巨視的せん断き裂を生じる過程であるのにに対して、耐久限度付近のものは巨視的せん断き裂を生じないためであろう。

図13は広野砂質泥岩の自然含水状態、封圧10kg/cm²のものである。かなりのばらつきが見られるが、これは自然含水状態における含水比のばらつきのためであると考えられる。これと同様な傾向は、同じ自然含水状態で封圧が0, 5kg/cm²の場合にも見られた。図14は広野砂質泥岩の飽和含水状態、封圧10kg/cm²、隙隙水圧0kg/cm²の場合である。耐久限度付近の○, ○, ○印を除くと、 $\dot{\epsilon}_a^P$ と($\sigma_d - \sigma_m$)との間に図13に示した自然含水状態の場合よりも、ばらつきの小さな関係が認められる。これは、含水状態が一定であるためと考えられる。耐久限度付近の○, ○, ○印は、図12に示した飽和含水状態の来持砂岩における耐久限度付近のものと同様な挙動を示すが段階から $\dot{\epsilon}_a^P$ は急激に小さくなっている。

以上、片振り圧縮荷重下での繰り返し疲労過程における粘塑性軸ひずみ増加率 $\dot{\epsilon}_a^P$ が、その時点における粘塑性軸ひずみ ϵ_a^P に対する繰り返し載荷-除荷試験から求められる生地力差 $\sigma_m - \sigma_d$ と繰り返し疲労試験における最大生地力差 $\sigma_m - \sigma_d$ との差 ($\sigma_d - \sigma_m$) に基本的に依存してることについて述べた。

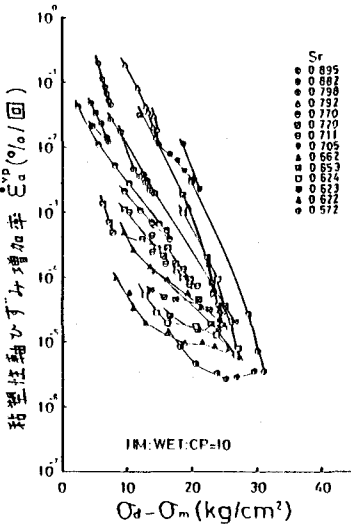


図13 広野砂質泥岩の自然含水状態、封圧10kg/cm²での $\dot{\epsilon}_a^P$ -($\sigma_d - \sigma_m$)関係

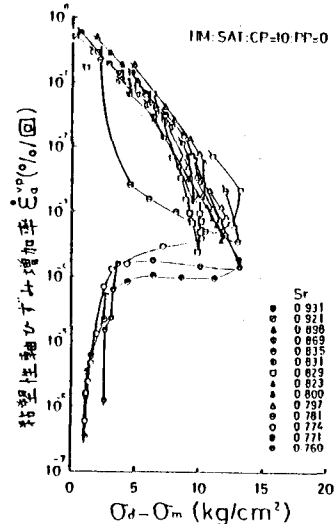


図14 広野砂質泥岩の飽和含水状態、封圧10kg/cm²、隙隙水圧0kg/cm²での $\dot{\epsilon}_a^P$ -($\sigma_d - \sigma_m$)関係

(23) MECHANICAL BEHAVIORS OF SOFT ROCKS UNDER CYCLIC LOADING IN TRIAXIAL COMPRESSION

by

Ryoji KOBAYASHI, Koji MATSUKI and Hiroyuki KUDO
(TOHOKU University)

In recent years, foundations of such as power stations or bridges have been constructed on so called soft rock mass. In these cases, soft rock mass is subjected to pretty severe cyclic loading in comparison with its strength under both confining pressure and pore pressure. For the safe design of soft rock foundation, it is prerequisite to clarify the cyclic fatigue characteristics of soft rock under triaxial compression.

In this work, cyclic fatigue test using 1Hz sinusoidal wave was conducted under confining pressure for two kinds of rocks; Hirono sandy mudstone and Kimachi sandstone. Their uniaxial compressive strengths are 59 and 540 kg/cm², respectively. In addition to the cyclic fatigue test, repeated loading-unloading test was also conducted using ramp wave of increasing maximum strain in order to know the fundamental relationship between differential stress and visco-plastic strain (permanent strain).

This paper mainly describes the cyclic fatigue process discussed from the view point of visco-plastic axial strain. Except the condition where the maximum differential stress is below the fatigue limit, the visco-plastic strain rate per number of cycles $\dot{\epsilon}_a^{vp}$ initially decreases with the visco-plastic strain ϵ_a^{vp} until $\dot{\epsilon}_a^{vp}$ reaches its minimum. After that, $\dot{\epsilon}_a^{vp}$ begins to increase and finally the specimen collapses. On the other hand, in the relationship between differential stress σ_d and visco-plastic strain ϵ_a^{vp} , $\sigma_d-\epsilon_a^{vp}$ curve, which is obtained in the repeated loading-unloading test, differential stress σ_d increases with visco-plastic strain until σ_d becomes maximum, and, then, σ_d decreases and finally reaches the residual strength. Furthermore, the relationship between the maximum differential stress σ_m and the visco-plastic strain ϵ_a^{vp} at the failure point in the cyclic fatigue test well coincides with the $\sigma_d-\epsilon_a^{vp}$ curve as shown in Figs.6 to 9.

Considering the facts mentioned above, the fundamental concept of cyclic fatigue process is presented as schematically shown in Fig.10. In this concept, it is assumed that the visco-plastic axial strain rate per number of cycles $\dot{\epsilon}_a^{vp}$ strongly depends on the difference between the differential stress σ_d in the $\sigma_d-\epsilon_a^{vp}$ curve and the maximum differential stress σ_m in the cyclic fatigue test ($\sigma_d-\sigma_m$) at the corresponding visco-plastic strain ϵ_a^{vp} .

As shown in Figs.11 to 14, the relationship between the visco-plastic strain rate $\dot{\epsilon}_a^{vp}$ and the stress difference ($\sigma_d-\sigma_m$) in the process of cyclic fatigue lies within a region except the cases where σ_m is below the fatigue limit. This relationship is almost independent of the magnitude of the maximum differential stress σ_m in the cyclic fatigue test. Thus the concept presented in this paper well explains the fundamental behaviors of the visco-plastic axial strain ϵ_a^{vp} in the cyclic fatigue process of rocks.